



照片 3.1 鋼套管混凝土節塊 PVC 管定位



照片 3.2 基礎鋼筋籠



照片 3.3 橋柱頂部錨錠節塊鋼筋籠



照片 3.4 基礎混凝土澆置



照片 3.5 節塊混凝土澆置



照片 3.6 試體假組立節塊介面間隙



照片 3.7 流動性環氧樹脂施工情形



照片 3.8 基礎底部鋼鉸線定位



照片 3.9 基礎翻轉固定在強力地板



照片 3.10 基礎面上塗抹高稠度環氧樹脂



照片 3.11 第一節塊吊裝



照片 3.12 第二節塊吊裝



照片 3.13 第三節塊吊裝



照片 3.14 第四節塊吊裝



照片 3.15 柱頂錨錠節塊吊裝



照片 3.16 吊裝施拉預力的油壓千斤頂



照片 3.17 試體 SP1 試驗前全景



照片 3.18 試體 SP1 柱底部裂縫 ($\theta = +0.006$ 弧度)



照片 3.19 試體 SP1 第一節塊上方撓曲裂縫 ($\theta = +0.006$ 弧度)



照片 3.20 試體 SP1 柱底部撓曲裂縫 ($\theta = +0.015$ 弧度)



照片 3.21 試體 SP1 第一節塊上方撓曲裂縫 ($\theta = +0.015$ 弧度)



照片 3.22 試體 SP1 柱底部撓曲裂縫 ($\theta = +0.02$ 弧度)



照片 3.23 試體 SP1 柱底部混凝土剝落 ($\theta = +0.02$ 弧度)



照片 3.24 試體 SP1 第一節塊上方撓曲裂縫 ($\theta = +0.02$ 弧度)



照片 3.25 試體 SP1 柱底部混凝土撓曲裂縫 ($\theta = +0.03$ 弧度)



照片 3.26 試體 SP1 柱底部混凝土裂縫長度 ($\theta = +0.03$ 弧度)



照片 3.27 試體 SP1 柱底部混凝土剝落 ($\theta = +0.03$ 弧度)



照片 3.28 試體 SP1 第一與第二節塊間混凝土裂縫 ($\theta = +0.03$ 弧度)



照片 3.29 試體 SP1 第一、二節塊間混凝土裂縫長度 ($\theta = +0.03$ 弧度)



照片 3.30 試體 SP1 第一、二節塊間無收縮水泥剝落($\theta = +0.03$ 弧度)



照片 3.31 試體 SP1 柱底部混凝土裂縫 ($\theta = +0.04$ 弧度)



照片 3.32 試體 SP1 柱底部混凝土裂縫長度 ($\theta = +0.04$ 弧度)



照片 3.33 試體 SP1 柱底部混凝土剝落 ($\theta = +0.04$ 弧度)



照片 3.34 試體 SP1 第一、二節塊間混凝土裂縫($\theta = +0.04$ 弧度)



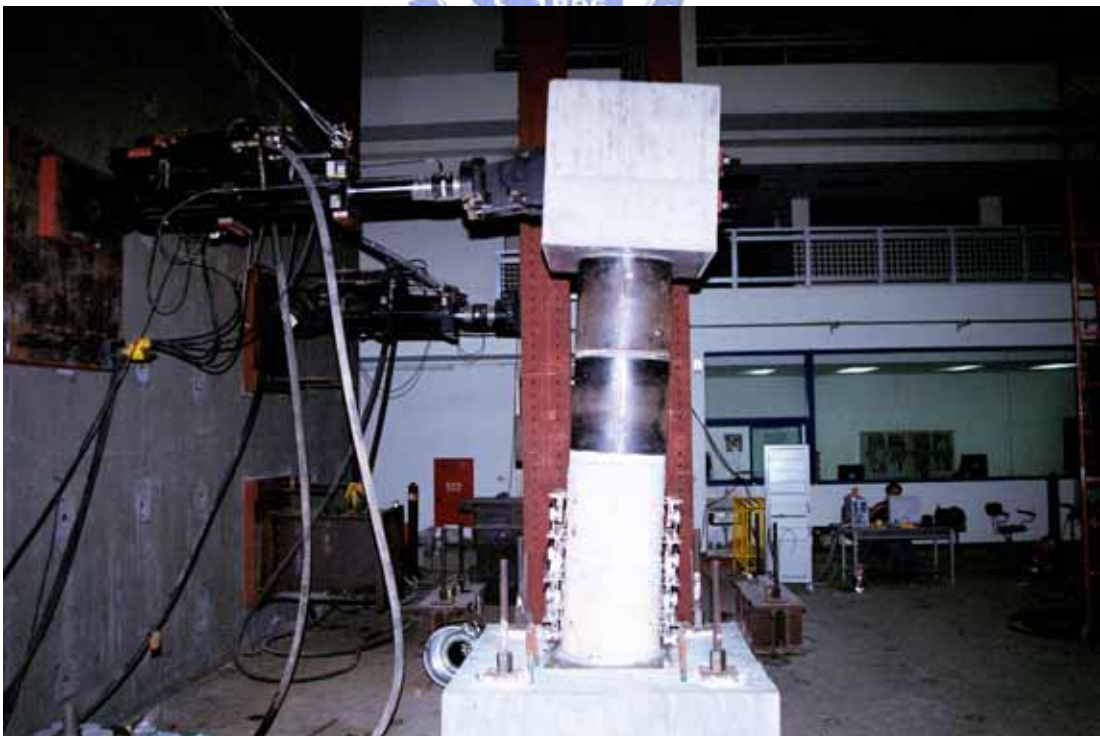
照片 3.35 試體 SP1 第一、二節塊間混凝土剝落 ($\theta = +0.04$ 弧度)



照片 3.36 試體 SP1 柱底撓曲裂縫 ($\theta = +0.05$ 弧度)



照片 3.37 試體 SP1 第一、二節塊介面間撓曲裂縫 ($\theta = +0.05$ 弧度)



照片 3.38 試體 SP1 試體側位移情況 ($\theta = +0.06$ 弧度)



照片 3.39 試體 SP1 柱底部撓曲裂縫($\theta = +0.06$ 弧度)



照片 3.40 試體 SP1 柱底部裂縫長度 ($\theta = +0.06$ 弧度)



照片 3.41 試體 SP1 第一、二節塊間無收縮水泥剝落 ($\theta = +0.06$ 弧度)



照片 3.42 試體 SP1 第一、二節塊間混凝土裂縫長度 ($\theta = +0.06$ 弧度)



照片 3.43 試體 SP1 試驗後柱底混凝土情況



照片 3.44 量測曲率變化的位移計配置圖



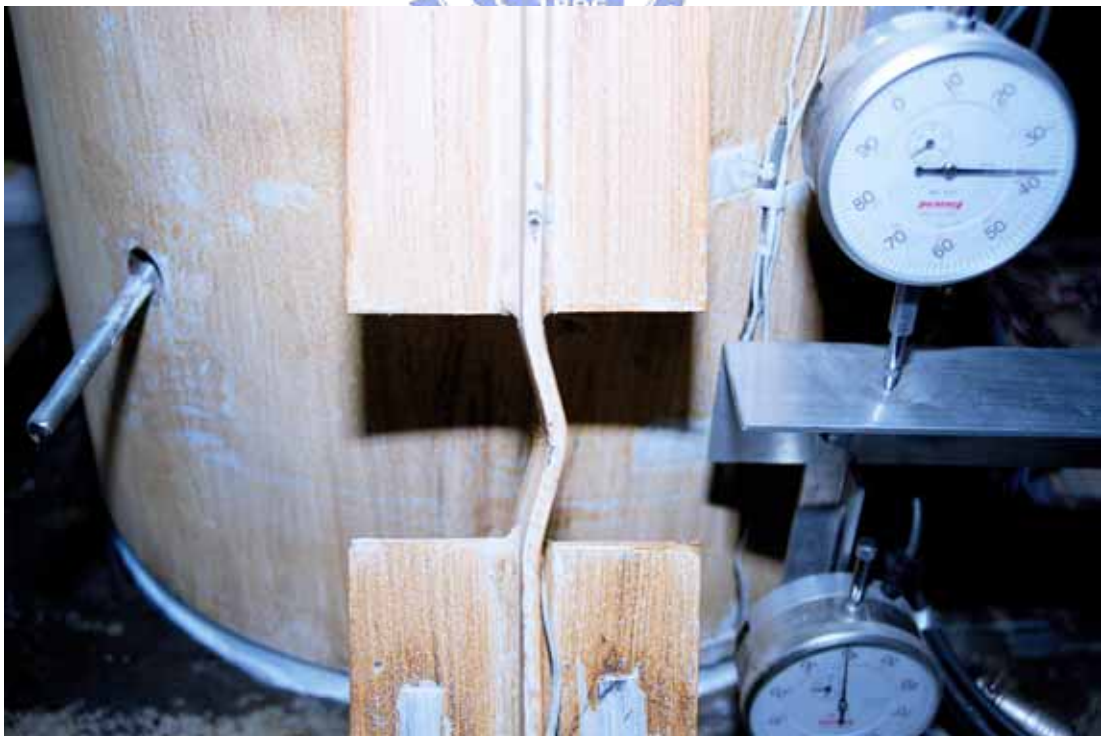
照片 3.45 試體 SP2 試驗前全景



照片 3.46 試體 SP2 消能桿件受壓發生挫屈情況 ($\theta = +0.006$ 弧度)



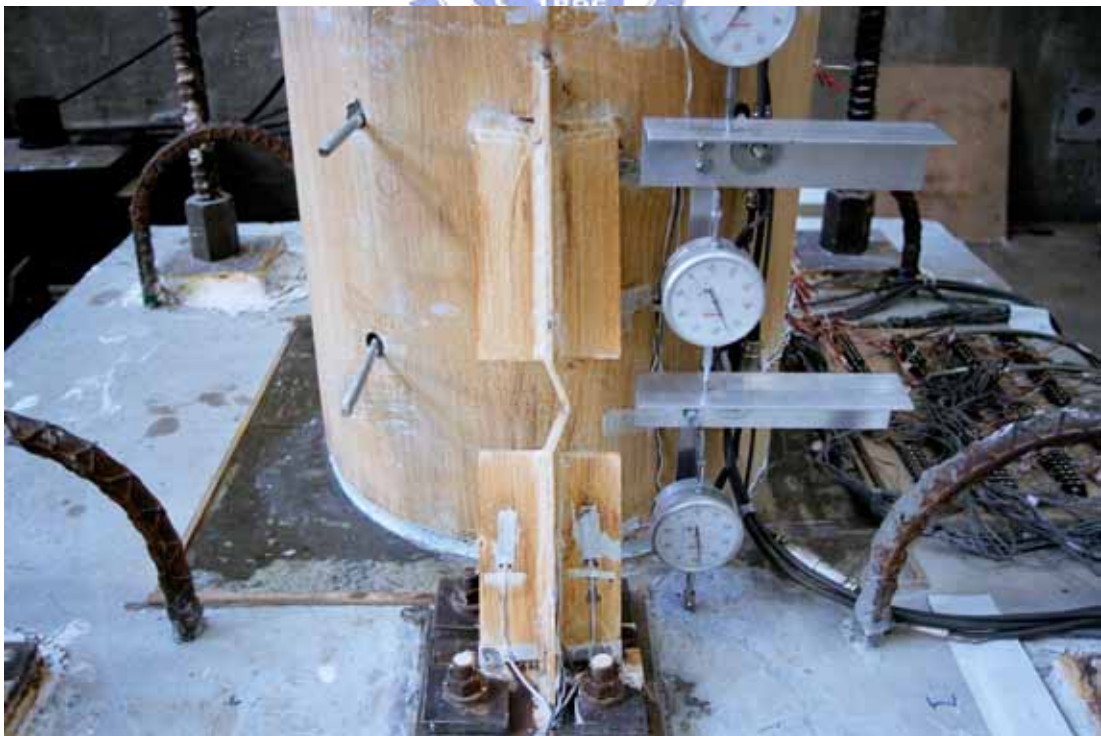
照片 3.47 試體 SP2 第一與第二節塊間裂縫發展情況($\theta = +0.009$ 弧度)



照片 3.48 試體 SP2 消能桿件受壓發生挫屈情況 ($\theta = +0.009$ 弧度)



照片 3.49 試體 SP2 第一與第二節塊間撓曲裂縫 ($\theta = +0.015$ 弧度)



照片 3.50 試體 SP2 消能桿件挫屈情形 ($\theta = +0.015$ 弧度)



照片 3.51 試體 SP2 消能桿件上發現有明顯的降伏線($\theta = +0.02$ 弧度)



照片 3.52 試體 SP2 第一節塊底部撓曲裂縫 ($\theta = +0.03$ 弧度)



照片 3.53 試體 SP2 第一節塊底部裂縫長度 ($\theta = +0.03$ 弧度)



照片 3.54 試體 SP2 第一節塊底部混凝土剝落 ($\theta = +0.03$ 弧度)



照片 3.55 試體 SP2 第一與第二節塊間撓曲裂縫($\theta = +0.03$ 弧度)



照片 3.56 試體 SP2 第一與第二節塊間裂縫長度 ($\theta = +0.03$ 弧度)



照片 3.57 試體 SP2 第一與第二節塊間混凝土剝落($\theta = +0.03$ 弧度)



照片 3.58 試體 SP2 第二與第三節塊間撓曲裂縫($\theta = +0.03$ 弧度)



照片 3.59 試體 SP2 消能桿件挫屈情形 ($\theta = +0.03$ 弧度)



照片 3.60 試體 SP2 消能桿件受拉斷裂情況 ($\theta = +0.04$ 弧度)



照片 3.61 試體 SP2 第一節塊底部撓曲裂縫 ($\theta = +0.04$ 弧度)



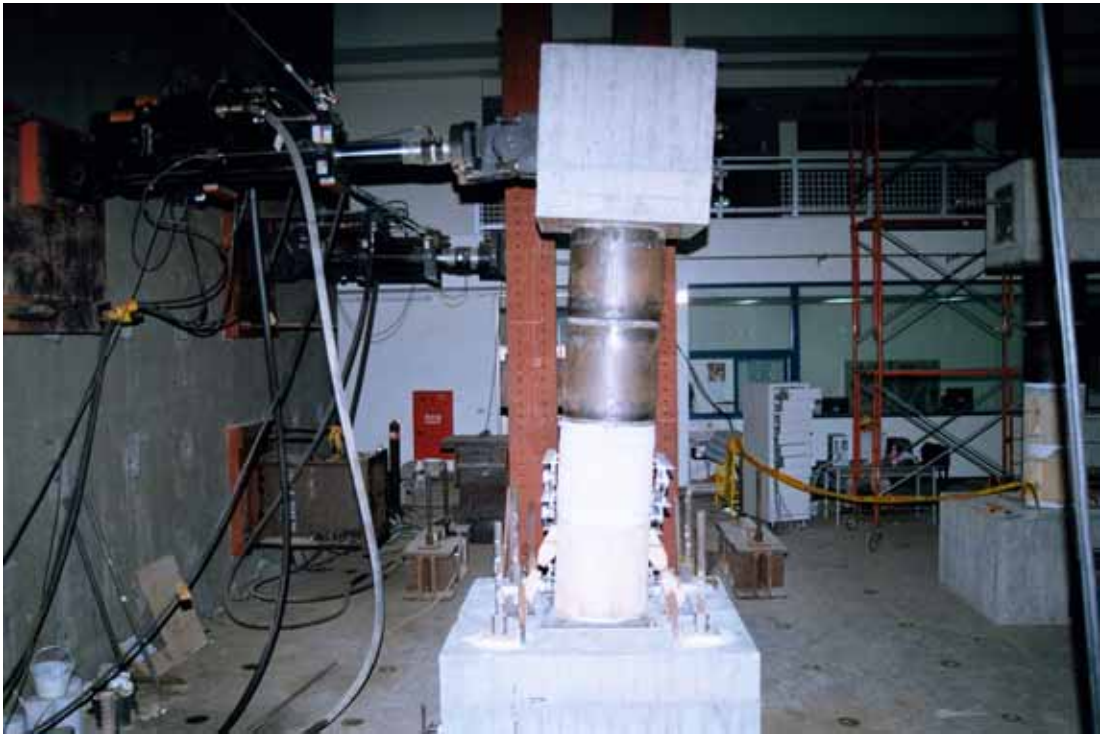
照片 3.62 試體 SP2 第一與第二節塊間撓曲裂縫 ($\theta = +0.04$ 弧度)



照片 3.63 試體 SP2 第一節塊底部撓曲裂縫($\theta = +0.05$ 弧度)



照片 3.64 試體 SP2 第一與第二節塊間撓曲裂縫 ($\theta = +0.05$ 弧度)



照片 3.65 試體 SP2 側位移變形情況 ($\theta = +0.06$ 弧度)



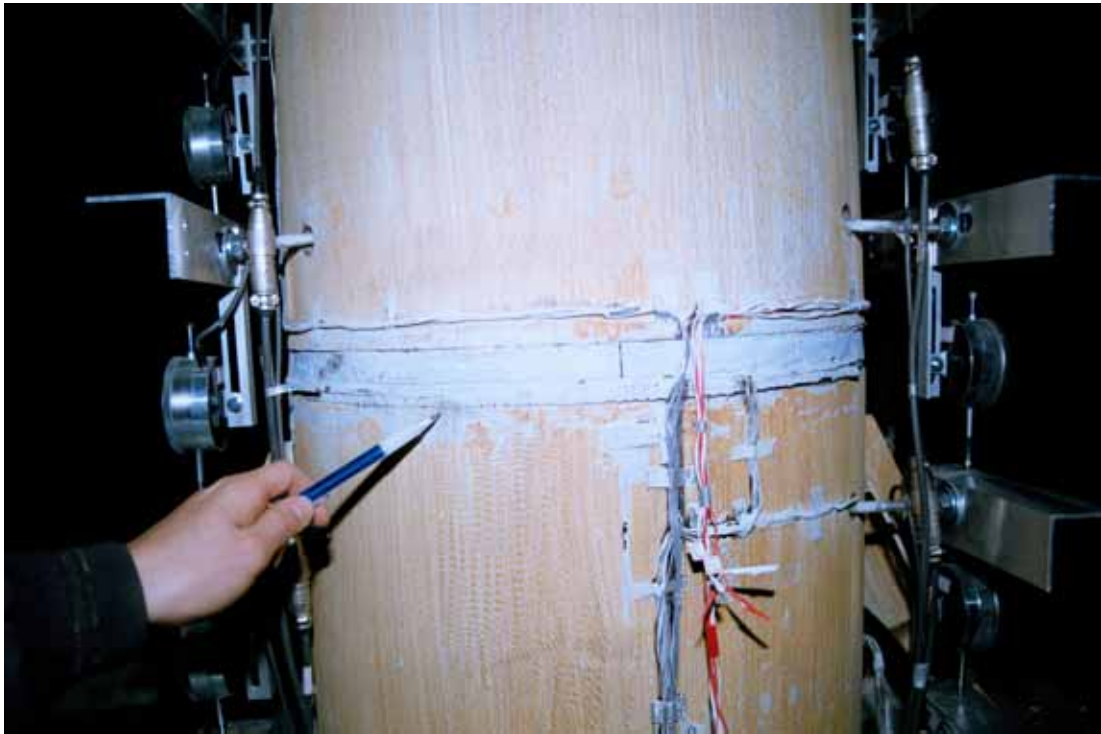
照片 3.66 試體 SP2 第一節塊底部撓曲裂縫 ($\theta = +0.06$ 弧度)



照片 3.67 試體 SP2 第一節塊底部裂縫長度($\theta = +0.06$ 弧度)



照片 3.68 試體 SP2 第一與第二節塊間撓曲裂縫($\theta = +0.06$ 弧度)



照片 3.69 試體 SP2 第一與第二節塊裂縫長度 ($\theta = +0.06$ 弧度)



照片 3.70 試體 SP2 試驗後情形